

# مجله علوم و صنایع غذایی ایران



سایت مجله: [www.fsct.modares.ac.ir](http://www.fsct.modares.ac.ir)

مقاله علمی-پژوهشی

استفاده از فناوری رزونانس پلاسمون سطحی برای ارزیابی اولیه فعالیت آنتی توکسین اگزوپلیساقارید

دکتران علیه انتروتوکسین حساس به حرارت اشرشیا کلی

مجتبی آذری آنبار<sup>۱</sup>، فریده طباطبایی یزدی<sup>۲</sup>، پاسکال دغاو<sup>۳</sup>، نادیا اولال<sup>۴</sup>، کامبیز جهانبین<sup>۵</sup>

۱- دانشجوی دکتری زیست فناوری مواد غذایی، گروه علوم و صنایع غذایی، دانشکده کشاورزی، دانشگاه فردوسی مشهد، مشهد، ایران

۲- دانشجوی دکتری زیست فناوری مواد غذایی، واحد تحقیقاتی ISARA، دانشگاه کلود برنارد لیون ۱، لیون، فرانسه

۳- استاد گروه علوم و صنایع غذایی، زیست فناوری مواد غذایی، دانشگاه فردوسی مشهد، مشهد، ایران

۴- استاد گروه علوم و صنایع غذایی، تکنولوژی مواد غذایی، واحد تحقیقاتی ISARA، دانشگاه کلود برنارد لیون ۱، لیون، فرانسه

۵- دانشیار گروه علوم و صنایع غذایی، زیست فناوری مواد غذایی، واحد تحقیقاتی ISARA، دانشگاه کلود برنارد لیون ۱، لیون، فرانسه

۶- دانشیار گروه علوم و صنایع غذایی، تکنولوژی مواد غذایی، دانشکده مهندسی کشاورزی، دانشگاه صنعتی شهرورد، شهرورد، ایران

## چکیده

## اطلاعات مقاله

تاریخ های مقاله :

تاریخ دریافت: ۱۴۰۱/۵/۱۸

تاریخ پذیرش: ۱۴۰۱/۶/۲۱

کلمات کلیدی:

دکتران،

توکسین حساس به حرارت،

رزونانس پلاسمون سطحی،

اگزوپلیساقارید،

برهمکنش.

باکتری اشرشیا کلی انتروتوکسینیک با اتصال به مخاط روده و تولید انتروتوکسین‌های حساس به حرارت، متداول‌ترین عامل بیماری باکتریایی ایجاد کننده اسهال است. مطالعه حاضر با هدف روشن کردن برهمکنش دو نوع اگزوپلیساقارید دکتران با وزن‌های مولکولی مختلف ((kDa ۷۶-۶۰) و (kDa ۱۱-۹) تولید شده از باکتری پروپیوتیک *Leuconostocmesenteroides* با توکسین حساس به حرارت (زیرا واحد B-پنتمر) (LTB) با استفاده از رزونانس پلاسمون سطحی انجام شد. بر اساس نتایج به دست آمده از سیتیک برهمکنش حاصله در دمای ۲۹۸K، هر دو نوع دکتران با وزن مولکولی پایین و بالا، به ترتیب دارای میل ترکیبی بالایی (M-1) (M-1/۱۰۷×۱۰۶M-1 و ۰/۹۵×۱۰۶M-1KA) نسبت به توکسین LTB در شرایط برون تنی داشتند. از نقطه نظر ترمودینامیکی مقادیر به دست آمده از معادله وانت هوف، انرژی آزاد گیس منفی ( $\Delta G < 0$ )، آنالپی و آنtrapوپی نیز هر دو مثبت ( $\Delta H > 0$  و  $\Delta S > 0$ ) ارزیابی شدند که به ترتیب نشان دهنده‌ی فرآیند اتصال از نوع خود به خودی، گرم‌گیر و مبتنی بر بی‌نظمی بود. با توجه به این یافته‌ها، فعل و افعالات آنکریز به همراه پیوندهای هیدروژنی به نظر می‌رسد که نقش مهمی در برهمکنش هر دو نوع دکتران با توکسین LTB می‌تواند ایفا کنند. بنابراین، می‌توان نتیجه گرفت که اگزوپلیساقارید دکتران می‌توانند با توکسین LTB تعامل داشته و تا حدودی خاصیت ضد توکسینی از خود نشان بدهند. به طور کلی، این نتایج می‌تواند بینش بیشتری برای شروع تحقیقات گسترده روی اگزوپلیساقاریدهای با منشا باکتری‌های اسید لاكتیک در برهمکنش با توکسین‌های باکتری‌های پاتوژن مواد غذایی ارائه دهد.

DOI: 10.22034/FSCT.20.136.1

DOR: 20.1001.1.20088787.1402.20.136.1.9

\* مسئول مکاتبات:

tabatabai@um.ac.ir

## ۱- مقدمه

[۱]

امروزه همراه با پیشرفت علم بیوتکنولوژی در زمینه‌های مختلف توجه به استفاده از میکروارگانیسم‌هایی که به طور طبیعی قادر به فعالیت و تولید متابولیت‌های مفید هستند، در صنعت غذا و داروسازی بیشتر متمنکر گردیده است. از این رو توجه دانشمندان به تولید و شناسایی متابولیت‌های جدید میکروارگانیسم‌ها به عنوان ترکیبات دارویی فعال و درک سازوکار عمل آن‌ها معطوف شده است [۲].

باکتری‌های اسید لاتکتیک مانند بسیاری از باکتری‌های دیگر قادر به تولید چندین نوع پلی‌ساقارید خارج سلولی یا گلیکان‌هایی تحت عنوان بیوپلیمرهای کربوهیدراتی با تنوع ساختاری بسیار متنوع هستند. در این خصوص یکی از مهمترین متابولیت‌های تولید شده توسط باکتری‌های اسید لاتکتیک پروبیوتیک، اگزوپلی‌ساقاریدها می‌باشد که دارای کاربردهای بالقوه‌ی فراوانی در مکمل‌های غذایی و داروسازی هستند [۳، ۴]. اگزوپلی‌ساقاریدها پس از تولید توسط باکتری‌های اسید لاتکتیک، قابلیت اتصال به سطح سلول خود را دارند و یا اینکه می‌توانند به محیط اطراف خود رها شده و با عوامل دیگری وارد واکنش شوند [۲].

اعتقاد محققین در سال‌های اخیر بر این است که اگزوپلی‌ساقاریدهای تولید شده توسط باکتری‌های اسید لاتکتیک می‌توانند منجر به کاهش اثرات سیتو توکسینیک<sup>۱</sup> فلزات سنگینو حتی توکسین‌های باکتری‌های پاتوژن در بیماری‌های گاستروآنتریت<sup>۲</sup> شوند. به عبارت دیگر اگزوپلی‌ساقاریدهای تولید شده توسط پروبیوتیک‌ها شاید به عنوان یک مانع فیزیکی عمل کرده که بتواند هم از طریق مسدود کردن گیرنده‌های توکسین موجود در سطح سلول‌های آنتروسیت<sup>۳</sup> روده‌ای میزان شده و یا هم به عنوان یک جاذب زیستی، توکسین‌های باکتری را احاطه کرده که نهایتاً مانع از اتصال

توکسین‌های باکتریایی، اولین فاکتورهای ویرولانس<sup>۴</sup> باکتری‌ها هستند که تا به امروز شناخته شده‌اند. توکسین‌های باکتریایی را به طور کلی می‌توان به دو گروه اندوتوكسین‌ها و اگزوتوكسین‌ها تقسیم نمود. یکی از شناخته شده‌ترین باکتری‌های تولید کننده اگزوتوكسین، گروه‌های پاتوژنیک اشرشیا کلی تحت عنوان اشرشیای انترو توکسینیک<sup>۵</sup> (ETEC) مطرح می‌باشد. اخیراً توجه به نقش اشرشیا کلی به عنوان عامل بیماری اسهال به واسطه ظهور سویه H7:0157 و سویه‌های انترو هوموراژیک<sup>۶</sup>، به علت شدت بیماری مربوطه، افزایش یافته است. دو ویژگی ویرولانس مشخص اشرشیا کلی انترو توکسینیک ETEC شامل کلونیزاسیون در سطح روده و همچنین تولید انترو توکسین می‌باشد. انترو توکسین‌های تولید شده به وسیله‌ی این باکتری‌ها شامل دو گروه توکسین‌های حساس به حرارت<sup>۷</sup> (LT) مشابه کلرا توکسین<sup>۸</sup> (CT) و توکسین‌های مقاوم به حرارت<sup>۹</sup> (ST) می‌باشد که در ساختار، آنتی زنیستی و مکانیسم عمل تفاوت دارند [۱].

توکسین حساس به حرارت LT جزء اگزوتوكسین‌های پروتئینی محسوب می‌شود. این پروتئین به صورت متصل به لیپوپلی ساقاریدهای سطحی اشرشیا کلی یاقی می‌ماند و قابلیت اتصال به قندهای گروه خونی A، مولکول TLR و پذیرندهای گانگلیوزیدی سطح انتروسیت‌ها را دارد. مکانیسم عمل آن مشابه کلرا توکسین بوده و چرخه‌ی آدنیلات سیکلаз را فعال کرده غلظت cAMP را در سلول افزایش می‌دهد و موجب ترشح مقادیر زیادی آب و یون‌ها از جمله کلر به روده شده و نهایتاً منجر به اسهال می‌شود. LT ساختمانی با فرمول A-B<sub>5</sub> دارد که

7.heat-labile enterotoxin B-pentamer

8.cytotoxic

9.Gastroenteritis

10.Enterocytes

1.Virulence

2.Enterotoxigenic *Escherichia coli*

3.Enterohemorrhagic

4. Heat-labile enterotoxin

5. Cholera toxin

6. Heat-stable enterotoxin

مرکاپتواندکانوئیک-۱۱<sup>۱</sup> (سیگما، هند)، N-اتیل-N-(۳-دی-اتیل آمینوپروپیل) کربومید<sup>۲</sup> (EDC) (سیگما، مجارستان)، N-هیدروکسی سوکسینimid<sup>۳</sup> (NHS) (سیگما، کانادا) بودند.

## ۲-۲- روشهای

### ۲-۲-۱- رزونانس پلاسمون سطحی\*

آزمون اتصال دو بیومولکول با استفاده از دستگاه رزونانس MP-SPR Navi 210A (کاناله Tampere-region BioNavis Ltd.، فنلاند) بر اساس مطالعات قبلی فتحی و همکاران<sup>(۲۰۱۹)</sup> انجام گرفت. آزمون مورد نظر در حالت زاویه ثابت و با استفاده از یک لیزر ۶۷۰ nm تحریک پلاسمون سطحی انجام گرفت. استخراج و تحلیل داده های مربوط به محاسبات میلتراکبیی و ثابت جنبشیه ترتیب توسط Trace SPR Navi<sup>TM</sup> Data viewer و SPR Navi<sup>TM</sup> Drawer برای انجام گرفت<sup>[۱۱]</sup>.

### ۲-۲-۲- آماده سازی نمونهها

۰/۲۵ mg.mL<sup>-۱</sup> توکسین LTB با حل کردن در سدیم فسفات بافر (۰/۰۱ M، pH = ۵/۵) تهیه شد و با استفاده از همزن چرخان آزمایشگاهی به مدت یک شب تا حل شدن کامل آن در یخچال با دمای ۵°C قرار گرفت. همچنین برای تهیه محلول مادر اگروپلی ساکاریدهای دکستران (۰/۲ mg.mL<sup>-۱</sup>) در همان بافر ولی با pH = ۷ (۰/۰۱ M) حل شد و سپس سانتریفوژ شد و به منظور حذف هر گونه ترکیبات غیر قابل حل، از فیلتر سرنگی  $\mu\text{m}$  استفاده شد. از سدیم فسفات بافر (۰/۰۱ M، pH = ۷) نیز برای رقت سازی نمونههای دکستران (۰/۲۵، ۰/۰۵، ۰/۰۱ و ۰/۰۰۱ M) استفاده گردید. در نهایت محلول نمونهی توکسین LTB (به عنوان گیرنده) تثیت روی تراشههای طلا و همچنین

توکسین به سطح سلولهای یوکاریوتی می شود<sup>[۲، ۵، ۶، ۷]</sup>.<sup>[۹]</sup>

از آنجائیکه هیچ گونه تحقیقاتی مبنی بر برهمکنش بین اگروپلی ساکارید باکتریهای اسید لاکتیک و توکسین LTB تا به حال صورت نپذیرفته است و صرفاً فرضیاتی در این خصوص پیشنهاد شده است. لذا بررسی های دقیق روی برهمکنش اگروپلی ساکاریدهای دکستران با توکسین مورد بحث در شرایط *in vitro*، می تواند بیش دقیقی از درک فعل و اتفاعات این زیست مولکولها فراهم سازد. از این رو مطالعات برون تنی<sup>(۱)</sup> (vitro) امکان بررسی های اختصاصی برهمکنش بین مولکولی را به آسانی فراهم می سازد و اطلاعات ارزشمندی از جزئیات پیوند آنها در اختیار محققین قرار می دهد. همچنین، اگرچه گزارشات حاکی از آن است که پارامترهای محلول مانند pH عوامل مهمی برای کنترل حالت های مختلف برهمکنش بین پروتئین و پلی ساکارید هستند، اما نوع پروتئین ها/پلی ساکاریدها، وزن مولکولی، چگالی بار و آب گریزی پلیمرهای زیستی نقش مهمی در میزان کمپلکس شدن بین دو پلیمر در شرایط ثابت دارند<sup>[۱۰]</sup>. درنتیجه هدف اصلی این پژوهش بررسیابر دکستران های با وزن مولکولی مختلف بر روی برهمکنش مولکولی توکسین حساس به حرارت زیر واحد **B** (B پتانمر) (LTB) به عنوان بخش مهم در اتصال به سلولهای اپیتلیال وده با استفاده از مطالعات کتتیکی و ترمودینامیکی و به روش رزونانس پلاسمون سطحی می باشد.

## ۲- مواد و روشهای

### ۲-۱- مواد

مواد شیمیایی مورد استفاده در این مطالعه شامل: توکسین LTB (سیگما-آمریکا)، دکستران با وزن مولکولی پایین (kDa ۱۱-۹) (سیگما، کانادا) و وزن مولکولی بالا (kDa ۷۶-۶۰) (سیگما، آمریکا)، محلول آمونیاک ۲۵ درصد (سیگما- آلمان)، اسید

1.11-mercaptoundecanoic acid  
2.N-ethyl- N-(3-diethylaminopropyl) carbodiimide  
3.N-hydroxysuccinimide  
4.Surface plasmon resonance

سدیم فسفات بافر  $\text{M}_\text{pH} = 5/5$  به مدت ۸min با سرعت جریان  $\mu\text{L}\cdot\text{min}^{-1}$ ، مکان‌های اتصال غیراختصاصی روی سطح تراشه توسط اتانول آمین ( $\text{M}^1$ ) به مدت ۵min مسدود شدند [۱۱].

#### ۴-۲-۲-تجزیه و تحلیل جنبشی برهم‌کنش توکسین LTB ثبیت‌شده با دکستران

غلهظت‌های مختلف دکستران‌های با وزن مولکولی پایین ( $\text{kDa} ۱۱-۹$ ) و بالا ( $\text{kDa} ۶۰-۷۶$ ) در سدیم فسفات بافر یا سرعت جریان  $\mu\text{L}\cdot\text{min}^{-1}$  به مدت ۳min تزریق شد. از آنجایی که توکسین LTB در دو سلول چریاتثبیت شده بود، یکی از آن‌ها (کانال ۱) برای تزریق نمونه و دیگری (کانال ۲) به عنوان مرجع استفاده شد. تمام مراحل ذکر شده در بالا، در بافر یکسان و با  $\text{pH}=7$  انجام شد. با این حال، مدل دو مولکولی برای تخمین ثابت‌های سرعت اتصال ( $k_a$ ) و تفکیک ( $k_d$ ) استفاده شد. سپس مقادیر ثابت اتصال تعادل ( $K_A$ ) با تقسیم  $k_a$  بر  $k_d$  محاسبه شد [۱۲].

#### ۵-۲-۲-تجزیه و تحلیل ترمودینامیکی برهم‌کنش توکسین LTB ثبیت‌شده با دکستران

اثر دما بر اتصال دکستران‌ها به LTB برای به دست آوردن پارامترهای ترمودینامیکی تشکیل کمپلکس دکستران-LTB مورد بررسی قرار گرفت. اندازه‌گیری SPR در سه دمای مختلف (۲۹۸، ۳۰۳ و ۳۱۰ K) انجام شد. بدین منظور، پارامترهای ترمودینامیکی برهم‌کنش با اندازه‌گیری  $K_A$  در دمای مختلف تعیین شد. در نهایت، تغییرات در آنتالپی استاندارد ( $\Delta H$ ، آنترودیپی)، و انرژی آزاد گیبس ( $\Delta G$ ) از تجزیه و تحیل معادله وانت هوف<sup>۴</sup> داده‌ها با جایگزینی  $K_A$  با  $K_D$ /در معادله وانت هوف تخمین زده شد (معادله (۱)).

$$\ln K_A = -(\Delta H/R) \times (1/T) + \frac{\Delta S}{R}$$

4.van't Hoff

غلهظت‌های مختلف دکستران با وزن مولکولی مختلف (۹-۱۱ و  $\text{kDa} ۶۰-۷۶$ ) به عنوان لیگاند<sup>۱</sup> آماده تزریق شدند.

#### ۲-۲-۳-آماده‌سازی تراشهی طلا برای ثبیت توکسین LTB

#### ۲-۲-۳-تشکیل تکلایه‌های خودآرایی<sup>۲</sup> (SAM) اسید مرکاپوتاند کانوئیک<sup>۳</sup>-۱۱

به منظور تشکیل SAM اسید مرکاپوتاند کانوئیک-۱۱، ابتدا تراشهی SPR با روکش طلا (Bionavis، فنلاند) در محلول داغ آمونیاک ۳۰٪ پراکسید هیدروژن و آب مقطر دوبار تقطیر شدند. بدین منظور عمل شستشو چندین بار با آب دو بار تقطیر و اتانول خالص انجام شدند تا عاری از هرگونه مواد ناخالصی روی تراشه باشد. سپس تراشه مورد نظر تحت جریان گاز نیتروژن خشک گردید. اسید مرکاپوتاند کانوئیک-۱۱ (۵ mM) در محلول اتانول و آب مقطر دوبار تقطیر با نسبت حجمی ۳:۷ (V/V) به مدت ۲۴ ساعت در دمای ۲۵ °C تیمار شدند. نهایتاً، تراشه تیمار شده سه بار با آب و سه بار با سدیم فسفات بافر شسته شد و دوباره تحت جریان گاز نیتروژن خشک شد [۱۱].

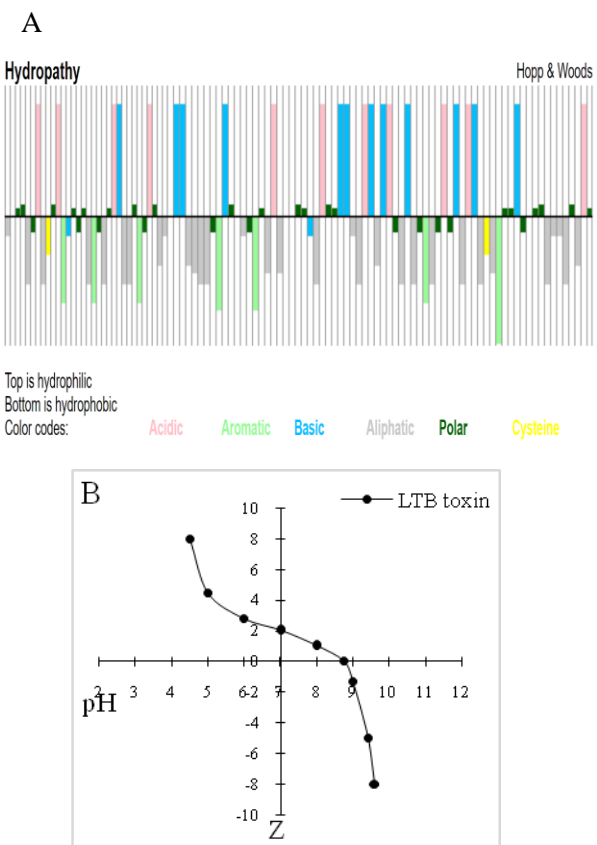
#### ۲-۲-۳-ثبیت توکسین LTB با استفاده از آمین‌های کوپلینگ<sup>۴</sup>

در این بخش ابتدا تراشهی تیمار شده با MUA درون دستگاه SPR قرار گرفت و سپس سدیم فسفات بافر ( $\text{M}_\text{pH} = ۷/۰$ ) درون دستگاه تزریق شد تا بتواند خط پایه ثابتی را در سنسوگرام ایجاد کند. به طور خلاصه، به منظور فعل کردن آن، سطح تراشهی طلای تیمار شده با MUA همراه با انتهای کربوکسیل در معرض مخلوطی از  $\text{N}_{۰/۲}-\text{Aetyl}-\text{N}_{۰/۵}-\text{EDC}$  (۳-اتیل آمینوپروپیل) کربومید (EDC) و  $\text{N}_{۰/۰۵}-\text{Hيدروكسي سوكسينيميد}$  (NHS) (۱:۱ V/V) به مدت ۵ min قرار گرفت. در نهایت، پس از قرار گرفتن در معرض محلول توکسین LTB در

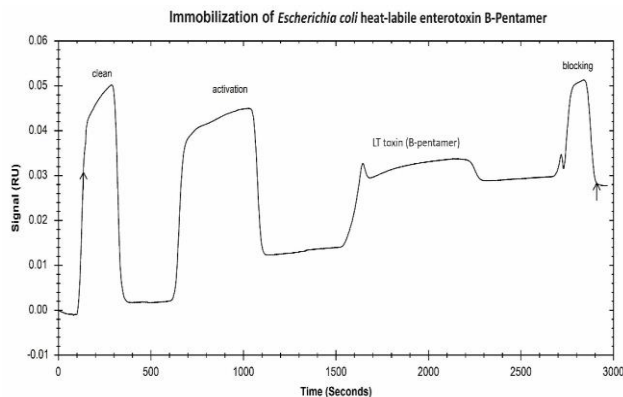
1.Ligand

2.Self-assembled monolayer

3.Amine coupling



**Fig 1:** Estimations of LTB toxin physicochemical properties (A) hydropathy (B) net charge vs pH.



که  $R$  نشان دهنده ثابت جهانی گاز است،  $T$  دمای مطلق و  $\Delta H$  و  $\Delta S$  به ترتیب تغییرات در آنتالبی و آنتروپی استاندارد را نشان می‌دهند.  $\Delta G$  با استفاده از معادله انرژی آزاد گیبس پس از به دست آوردن مقادیر  $\Delta H$  و  $\Delta S$  محاسبه شد (معادله (۲)) [۱۲].

$$\Delta G = \Delta H - T\Delta S$$

### ۳- نتایج و بحث

#### ۱-۳- تجزیه و تحلیل SPR

در آزمایش SPR، در حالیکه لیگاند مورد نظر در فاز جریان در حال حرکت است، پروتئین به سطح تراشه‌ای با سطحی از جنس طلا متصل شده است. به دنبال آن اتصال و یا تفکیک پروتئین-لیگاند منجر به تغییر در ضربی شکست در لایه سطحی و تغییر در زاویه SPR می‌شود. جابجایی‌ها نظارت می‌شوند و به صورت واحدی رزونانس دلخواه<sup>۱</sup> (RU) تبدیل می‌شوند و به صورت سنسورگرام نشان داده می‌شوند. به طور کلی SPR را می‌توان به عنوان ابزار خودکار مفیدی برای تعیین کمیت برهمکنش دکتران و توکسین LTB در این تحقیق در نظر گرفت که می‌تواند داده‌های سیستمیک و ترمودینامیکی را در زمان واقعی ارائه دهد [۱۱ و ۱۲].

#### ۲-۳- تثبیت توکسین LTB

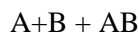
برای اطمینان از برهمکنش بالای الکترواستاتیکی بین پروتئین با بار مثبت و MUA با گروه کربوکسیلیک اسید منفی، pH محلول بافر مورد استفاده برای تثبیت LTB کمتر از  $pI$  پروتئین درنظر گرفته شود ( $pH = 5/5$ ).

1. Arbitrary resonance units

**Fig 2** LTB toxin immobilization processes by an SPR sensogram on a CMD chip

از

و سرعت جریان بالا ( $10\text{mL}\cdot\text{min}^{-1}$ ) برای جلوگیری از انتقال جرم و محدود کردن مقدار LTB مورد استفاده در مراحل تثبیت، انجام شد. روش مبتنی بر SPR، که در آن توکسین LTB بر رویکار تراشه حسگر MUA تثبیت شد، برای تعیین  $k_d$  و  $k_a$  برای اتصال دکسترانها به توکسین LTB استفاده گردید. شکل ۳ سنسورگرام‌های SPR با توکسین LTB تثبیت شده روی تراشه تیمار شده با MUA در حضور غلظت‌های مختلف دکستران‌های با وزن مولکولی پایین و بالا ( $0.025\text{ mg}\cdot\text{mL}^{-1}$ ) را در سه دمای مختلف ( $298\text{ K}$ ،  $303\text{ K}$  و  $310\text{ K}$ ) نشان می‌دهد. مقادیر RU مربوطه با افزایش غلظت هر دودکستران افزایشیافت، که نشان دهنده اتصال دکستران به توکسین LTB تثبیت شده می‌باشد.  $k_d$  AB تشکیل شده در هر ثانیه را نشان می‌دهد، در حالی که  $k_a$  کسری از کمپلکس‌های جدا شده در ثانیه است (معادله (۳)).



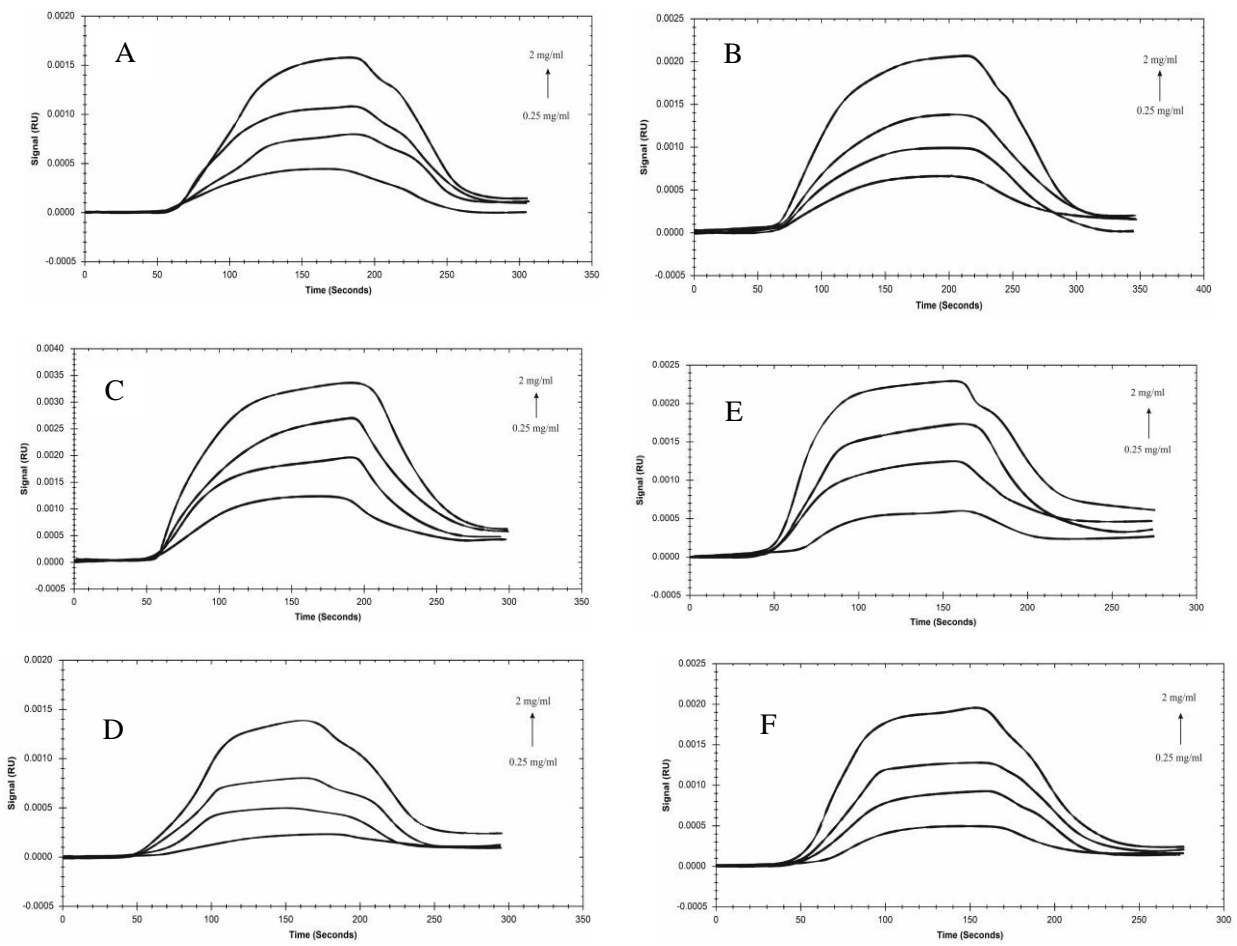
مقادیر  $k_d$  برای واکنش تشکیل کمپلکس توکسین LTB با هر دو نوع دکستران در سه دمای مختلف به دست آمد (جدول ۱).  $k_a$  در دمای بالاتر افزایشیافت در حالی که  $k_d$  تقریباً بدون تغییر باقی ماند. مقدار  $K_A$  در دمای  $298\text{ K}$  برای هر دو نوع دکستران با وزن مولکولی پایین و بالا به ترتیب  $1.30 \times 10^6\text{ M}^{-1}$  و  $1.04 \times 10^6\text{ M}^{-1}$  محاسبه شد که نشان دهنده تمایل‌های دو دکستران به توکسین LTB است. این نتایج نشان داد که تشکیل کمپلکس این دو مولکول زیستیاری فرآیندی تعریفیاً اتصال سریع نرخ تفکیک کم است. بر اساس تجزیه و تحلیل‌سیتیکی سنسورگرام‌ها، افزایش‌نسبی در  $K_A$  هنگام افزایش دما را نیز می‌توان به بهود ثابت نرخ اتصال نسبت داد. به نظر می‌رسد که افزایش اتصال هر دو دکستران به توکسین LTB در دمای‌های بالاتر به بهود برخورد مولکول‌های دکستران به مولکول‌های دکستران یتوكسین LTB روی سطح تراشه و انتشار بهتر مولکول‌های یتوكسین LTB در نتیجه از طرف دیگر مطابق با نتایج بدست آمده، وزن مولکولی دکستران‌ها تاثیری در ثابت اتصال تعادل نداشتند یا به عبارت دیگر وزن مولکولی تاثیر قابل توجهی در برهمکنش‌های آن‌ها با توکسین LTB نداشت.

در این خصوص، توسط ماشین حساب پیتیدی Innovagen (InnovagenAB, <https://pepcalc.com>) تخمین‌هایی را در مورد خواص فیزیکوشیمیایی، بار خالص و  $pI$  LTB انجام گرفت (شکل ۱، A و B). طبق نتایج بدست توکسین LTB آمده از مدل مورد نظر، توکسین LTB حلایت خوبی نسبت به آب داشته و در  $\text{pH}=7$  مولکولی بار خالص<sup>۱</sup> برابر  $1/1\text{ M}$  می‌باشد. همچنین نقطه ایزوکلریک آن برابر با  $\text{pH}=8.08$  می‌باشد. با این تفاسیر pH مطلوب بافر مورد نظر برای تقویت تثبیت توکسین LTB روی سطح حسگر طلا<sup>۲</sup> در نظر گرفته شد [۱۴]. شکل ۲ شماتیک تثبیت کردن توکسین LTB روی سطح حسگر طلا<sup>۳</sup> نشان می‌دهد. پس از تمیز کردن سطح تراشه SAM با انتهای کربوکسیلیک مولکول‌های MUA روی تراشه تشکیل شد. MUA به عنوان یکی از آلکان‌تیولات‌های جایگزین<sup>۴</sup> در نظر گرفته می‌شود که از زنجیره‌های هیدروکربنی آبگریز و گروه‌های سر آبدوست تشکیل شده است. سپس، گروه‌های کربوکسیلیک مولکول‌های MUA توسط EDC/NHS منظور جفت شدن گروه‌های آمیوتوكسین LTB فعال شدند. در نهایت، اتانول آمین برای مسدود کردن مکان‌های واکنش نداده SPR سطح تراشه اعمال شد. مراحل ثبت شده سنسورگرام (شکل ۲) و همچنین تغییر در رزونانس زاویه‌ای پس از فرآیند تثبیت، تثبیت موفقیت آمیز توکسین LTB روی سطح تراشه طلا<sup>۴</sup> نشان داد. این نتایج با انتهای کربوکسی تایید کرد. منحنی تیمار شده با MUA همراه با انتهای کربوکسی تایید کرد. اولیه فرآیند فوق الذکر افزایش زاویه SPR را حدود  $0.32^\circ$  درجه را نشان داد. (قبل از تثبیت  $-69/26$  و بعد از تثبیت  $-69/58$ ). در واقع تثبیت توکسین LTB به افزایش ضخامت لایه جذب شده ناشی از تشکیل لایه جدید روی سطح تراشه طلا نسبت داده می‌شود.

### ۳-۳- تجزیه و تحلیل‌سیتیکی بر هم‌کنش

1. Net charge

2.  $\omega$ -substituted alkanethiolates

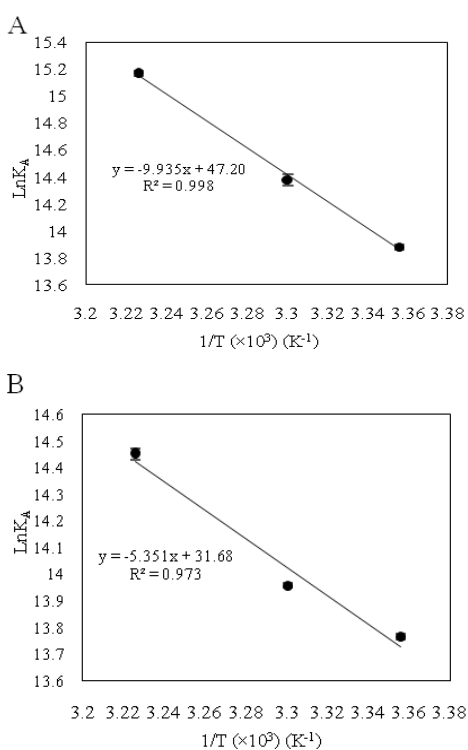


**Fig 3.** SPR sensorgrams of the interaction of LTB toxin with different concentrations of low MW dextran (top) and high MW dextran (bottom) (0.25–2 mg/ml in sodium phosphate buffer; 10 mM; pH 7) in the presence of various temperatures 298 K (A, D), 303 K (B, E), and 310 K (C, F).

**Table 1** The kinetic parameters (association rate constant ( $k_a$ ), dissociation rate constant ( $k_d$ ), and equilibrium constants ( $K_A$ )) of LTB toxin binding with dextrans (low MW dextran and high MW dextran) at three different temperatures (298, 303, 310 K).

$K_A$ (M <sup>-1</sup> )	$K_d$ (s <sup>-1</sup> )	$K_a$ (M <sup>-1</sup> × s <sup>-1</sup> )	Temperature (K)
$(1.07 \pm 0.02) \times 10^6$	$(1.25 \pm 0.25) \times 10^{-3}$	$(1.28 \pm 0.02) \times 10^3$	298 Low MW dextran
$(1.75 \pm 0.04) \times 10^6$	$(1.16 \pm 0.04) \times 10^{-3}$	$(2.02 \pm 0.4) \times 10^3$	
$(3.86 \pm 0.81) \times 10^6$	$(1.6 \pm 0.40) \times 10^{-3}$	$(5.45 \pm 1.4) \times 10^3$	
$(0.95 \pm 0.01) \times 10^6$	$(1.50 \pm 0.3) \times 10^{-3}$	$(1.40 \pm 0.15) \times 10^3$	298 High MW dextran
$(1.15 \pm 0.01) \times 10^6$	$(1.70 \pm 0.3) \times 10^{-3}$	$(1.90 \pm 0.12) \times 10^3$	
$(1.89 \pm 0.02) \times 10^6$	$(2.90 \pm 0.07) \times 10^{-3}$	$(5.35 \pm 0.75) \times 10^3$	

پروتئین و پلی‌ساقارید در نظر گرفته می‌شود، اما گزارش شده است که پیوند هیدروژنی و برهمکنش آبگریز نقش ثانویه‌ای برای پایداری‌جمع<sup>۱</sup> پروتئین/پلی‌ساقارید ایفا می‌کند. با این تفاسیر میزان پیوند هیدروژنی و برهمکنش آبگریز به دما بستگی دارد. پیشنهاد می‌شود اعمال حرارت ملایم و درنتیجه باز شدگی در ساختار پروتئین‌ها منجر می‌شود که مکان‌های واکنش‌پذیر (اسیدهای آمینه) بیشتری در معرض فاز حلال قرار گیرند و در نتیجه شناسنایی برای برهمکنش (یا اتصال) با پلی‌ساقاریدها داشته باشند.<sup>[۱۰]</sup> به عنوان یک نتیجه کلی و مطابق با نتایج حاصل از این کار انتظار می‌رود که برهمکنش‌های ایجاد شده از نوع آبگریز و هیدروژنی بین اگزوپلی‌ساقاریدهای دکستران با توکسین LTB می‌توانند نقطه شروع اتصالات قوی‌تر بوده و از طریق محصور کردن و به دنبال آن محدودیت توکسین LTB، به عنوان یک سد فیزیکی در اتصال به سلول‌های اپیتلیال روده عمل کنند.



**Fig 4** Van't Hoff plot for the interaction of LTB toxin and low MW dextran (A) and high MW dextran (B).

1. Aggregate

#### ۴-۳- تجزیه و تحلیل ترمودینامیکی برهمکنش

پارامترهای ترمودینامیکی مانند تغییرات آنتالپی و آنتروپی می‌توانند اطلاعات مفیدی در مورد تغییرات انرژی مرتبط با فرآیند جذب و همچنین نقش عوامل مختلف دخیل در تشکیل کمپلکس این دو مولکول زیستی مولکول زیستی ارائه دهنده. جدول ۲ نتایج مربوط به پارامترهای ترمودینامیکی برهمکنش بین‌دکستران‌هاو توکسین LTB را نیز خلاصه می‌کند. همانطور که در شکل ۴ نشان داده شد، نمودار وانت هواف برای هر دو نوع دکسترانیک خط مستقیم با شبیه منفی است (به ترتیب  $0/9735$  و  $0/998 = R^2$ ،)، که نشان می‌دهد که تغییر آنتالپی برای تشکیل کمپلکس دکستران‌ها و توکسین LTB در محدوده دما ثابت می‌ماند. علاوه بر این، شبیه منفی نشان می‌دهد که اتصال بین‌دکستران و توکسین LTB گرمایگر ( $\Delta H < 0$ ) و از نظر تغییرات آنتالپی‌شاهد تاثیر قابل توجهی در برهمکنش بین آن‌ها مشاهده نشد. مقادیر مثبت  $\Delta H (0/044$  و  $0/048 \text{ kJ mol}^{-1}$ ) و  $\Delta S (392/422 \text{ J mol}^{-1} \text{ K}^{-1})$  از نمودار وانت هواف فرآیند جذب مبتنی بر آنتروپی را نشان می‌دهد.

با این تفاسیر و مطابق با خصوصیات ساختاری پیش‌گویی شده از توکسین LTB در بخش ۲-۳ (شکل ۱، A) که بخش اعظم ساختار آنرا اسیدهای آمینه‌ای آبگریز تشکیل می‌دهند، برهمکنش بین آن و دکستران‌های بیشتر از طریق فعل و انفعالات آبگریز متنسب به کم آبیختش آبگریز پروتئین می‌تواند انجام شد ( $\Delta H < 0$ ،  $\Delta S < 0$ ). با این تفاسیر آنتروپی اتصال تخمین‌زده شده ( $T\Delta S$ )، یک سهم آنتروپیک مطلوب ( $T\Delta S$  مثبت)، و همچنین افزایش‌تمایل اتصال توکسین LTB با هر دو نوع دکستران در دمای بالا را نشان داد (جدول ۲). مقدار  $G\Delta$  در دمای  $K 298$  برای هر دو دکستران با وزن مولکولی پایین و بالا به ترتیب با  $-34/39$  و  $-34/11 \text{ kJ mol}^{-1}$  محاسبه شد که علامت منفی آن به خودانگیختگی و مطلوبیت اتصال دکستران‌ها به توکسین LTB اشاره دارد. به طور کلی، اگرچه جاذبه الکترواستاتیکی نیروی محرکه اصلی برای کمپلکس شدن بین

**Table 2** The thermodynamic parameters of LTB toxin binding with dextran (low MW dextran and high MW dextran) at three different temperatures (298, 303, 310 K)

$\Delta G$ (kJ mol <sup>-1</sup> )	$\Delta S$ (J mol <sup>-1</sup> .K <sup>-1</sup> )	$\Delta H$ (kJ mol <sup>-1</sup> )	$K_A$ (M <sup>-1</sup> )	Temperature (K)
-34.39 ± 0.55			(1.07 ± 0.02) × 10 <sup>6</sup>	298
-36.22 ± 0.57	392.42 ± 6.53	0.08 ± 0.02	(1.75 ± 0.04) × 10 <sup>6</sup>	303
-39.09 ± 1.3			(3.86 ± 0.81) × 10 <sup>6</sup>	310
-34.11 ± 0.24			(0.95 ± 0.01) × 10 <sup>6</sup>	298
-35.16 ± 0.29	263.39 ± 2.12	0.044 ± 0.01	(1.15 ± 0.01) × 10 <sup>6</sup>	303
-37.25 ± 0.26			(1.89 ± 0.02) × 10 <sup>6</sup>	310

اگزولپی ساکاریدها در حضور توکسین LTB، مطالعات تکمیلی و بیشتری بر روی مدل‌های *in-vivo* و *in-vitro* مورد انتظار است.

#### ۴- نتیجه گیری

مطالعه حاضر، گزارشی در مورد پارامترهای جنبشی و ترمودینامیکی برهمکنش وزن‌های مولکولی دکستران‌ها به توکسین LTB است. از نقطه نظر سیتیکیو ترمودینامیکی در شرایط دمایی مختلف نتایج نشان داد که هر دو اگزولپی ساکارید دکستران (با وزن مولکولی بالا و پایین) می‌توانند به توکسین LTB با میل ترکیبی‌ترینستا بالا ( $K_A$ ) از طریقیک تعامل گرم‌گیر و آنتروپی محور متصل شود ( $\Delta H < 0$  و  $\Delta S > 0$ ) که مطابق با مقادیر منفی انرژی آزاد گیس فرآیند اتصال آن از نوع خودبخودی ارزیابی شد ( $\Delta G < 0$ ). در نتیجه فعل و انفعالات آبگریزیه نظر می‌رسد که نقش مهمی در برهمکنش هر دو نوع دکستران‌باتوکسین LTB می‌تواند داشته باشد. علاوه بر پیوند آبگریزیکه در ناحیه آبگریز میانی می‌تواند نقش ایفا کند، پیوندهای هیدروژنی با سطوح آبدوسنیز انتظار می‌رود که می‌توانند نقطه شروعی برای ایجاد پیوندهای قوی‌تر داشته باشند و به دنبال آن منجر به کاهش اثرات سیتو توکسیکی توکسین LTB شوند. از طرف دیگر وزن مولکولی دکستران‌ها تاثیری روی نتایج برهمکنش این دو مولکلول زیستی نداشتند. یافته‌های حاصل از مطالعه کنونی، تأمل محققین را می‌توانند در خصوصیات برهمکنش بین دکستران با توکسین LTB عمیق‌تر سازد. لذا به منظور درک بهتر فعالیت ضد سیتو توکسیکی

#### ۵- تشرک و قدردانی

نویسنده‌گان از حمایت مالی دانشگاه کلد برنارد لیون ۱ - واحد BioDyMIA (Bioingénierie et Dynamique Microbienne aux Interfaces Alimentaires) در فرانسه و همچنین دانشگاه فردوسی مشهد به شماره طرح ۳/۵۰۶۸۱ در ایران سپاسگزار هستند.

#### ۶- منابع

- [1] Hosseini, F and Akbari, I. (2017). Microbial toxins. University Jihad Publications, pp:116-123, [in Persian].
- [2] Saadat, Y.R., Khosroushahi, A.Y. and Gargari, B.P., 2019. A comprehensive review of anticancer, immunomodulatory and health beneficial effects of the lactic acid bacteria exopolysaccharides. *Carbohydrate polymers*, 217, pp.79-89.

- [9] Hidalgo-Cantabrana, C., López, P., Gueimonde, M., Clara, G., Suárez, A., Margolles, A. and Ruas-Madiedo, P., 2012. Immune modulation capability of exopolysaccharides synthesised by lactic acid bacteria and bifidobacteria. *Probiotics and Antimicrobial Proteins*, 4(4), pp.227-237.
- [10] Ghosh, A.K. and Bandyopadhyay, P., 2012. Polysaccharide-protein interactions and their relevance in food colloids. *The complex world of polysaccharides*, 14, pp.395-406.
- [11] Fathi, F., Sharifi, M., Jafari, A., Kakavandi, N., Kashanian, S., Dolatabadi, J.E.N. and Rashidi, M.R., 2019. Kinetic and thermodynamic insights into interaction of albumin with piperacillin: Spectroscopic and molecular modeling approaches. *Journal of Molecular Liquids*, 296, p.111770.
- [12] Dehghani, M., Jalal, R. and Rashidi, M.R., 2021. Kinetic and thermodynamic insights into the interaction of A $\beta$ 1–42 with astaxanthin and aggregation behavior of A $\beta$ 1–42: Surface plasmon resonance, microscopic, and molecular docking studies. *Biophysical Chemistry*, 275, p.106612.
- [13] Jiménez-Vargas, J.M., Ramírez-Carreto, S., Corzo, G., Possani, L.D., Becerril, B. and Ortiz, E., 2021. Structural and functional characterization of NDBP-4 family antimicrobial peptides from the scorpion *Mesomexovis variegatus*. *Peptides*, 141, p.170553.
- [14] Heggelund, J.E., Heim, J.B., Bajc, G., Hodnik, V., Anderluh, G. and Krengel, U., 2019. Specificity of *Escherichia coli* heat-labile enterotoxin investigated by single-site mutagenesis and crystallography. *International journal of molecular sciences*, 20(3), p.703.
- [3] Zajšek, K., Goršek, A. and Kolar, M., 2013. Cultivating conditions effects on kefiran production by the mixed culture of lactic acid bacteria imbedded within kefir grains. *Food chemistry*, 139(1-4), pp.970-977.
- [4] Jeong, D., Kim, D.H., Kang, I.B., Kim, H., Song, K.Y., Kim, H.S. and Seo, K.H., 2017. Characterization and antibacterial activity of a novel exopolysaccharide produced by *Lactobacillus kefiranofaciens*DN1 isolated from kefir. *Food Control*, 78, pp.436-442.
- [5] Ruas-Madiedo, P., 2014. Biosynthesis and bioactivity of exopolysaccharides produced by probiotic bacteria. *Food Oligosaccharides*, pp.118-133.
- [6] Ruas- Madiedo, P., Medrano, M., Salazar, N., De Los Reyes- Gavilán, C.G., Pérez, P.F. and Abraham, A.G., 2010. Exopolysaccharides produced by *Lactobacillus* and *Bifidobacterium* strains abrogate in vitro the cytotoxic effect of bacterial toxins on eukaryotic cells. *Journal of applied microbiology*, 109(6), pp.2079-2086.
- [7] Kim, J.U., Kim, Y., Han, K.S., Oh, S., Whang, K.Y., Kim, J.N. and Kim, S.H., 2006. Function of cell-bound and released exopolysaccharides produced by *Lactobacillus rhamnosus* ATCC 9595. *Journal of microbiology and biotechnology*, 16(6), pp.939-945.
- [8] Hidalgo-Cantabrana, C., Sánchez, B., Milani, C., Ventura, M., Margolles, A. and Ruas-Madiedo, P., 2014. Genomic overview and biological functions of exopolysaccharide biosynthesis in *Bifidobacterium* spp. *Applied and Environmental Microbiology*, 80(1), pp.9-18.

**Journal of Food Science and Technology (Iran)**Homepage:[www.fsct.modares.ir](http://www.fsct.modares.ir)**Scientific Research**

Using surface plasmon resonance technology for initial evaluation of the antitoxin activity of dextran exopolysaccharide against *Escherichia coli* heat-labile enterotoxin

**Mojtaba Azari-Anpar<sup>1,2</sup>, Farideh Tabatabaei Yazdi<sup>3\*</sup>, Pascal Degraeve<sup>4</sup>, Nadia Oulahal<sup>5</sup>, KambizJahanbin<sup>6</sup>**

<sup>1</sup>Ph.D. Student of Food Biotechnology, Department of Food Science and Technology, Faculty of Agriculture, Ferdowsi University of Mashhad-91775-1163, Iran

<sup>2</sup>Ph.D. Student of Food Biotechnology, BioDyMIA Research Unit, ISARA Lyon, Univ Lyon, Université Claude Bernard Lyon 1, 155 ru8 Henri de Boissieu, F-01000, Bourg enBresse, France

<sup>3</sup> Professor in Food Biotechnology, Department of Food Science and Technology, Faculty of Agriculture, Ferdowsi University of Mashhad –91775-1163, Iran

<sup>4</sup> Professor in Food Science and Technology, BioDyMIA Research Unit, ISARA Lyon, Univ Lyon, Université Claude Bernard Lyon 1, 155 ru8 Henri de Boissieu, F-01000, Bourg enBresse, France

<sup>5</sup> Associate Professor in Food Biotechnology, BioDyMIA Research Unit, ISARA Lyon, Univ Lyon, Université Claude Bernard Lyon 1, 155 ru8 Henri de Boissieu, F-01000, Bourg enBresse, France

<sup>6</sup> Associate Professor in Food Science and Technology, Department of Food Science and Technology, Faculty of Agricultural Engineering, Shahrood University of Technology, P.O. Box 361999-5161, Shahrood, Iran

**ABSTRACT****ARTICLE INFO**

Enterotoxicigenic *Escherichia coli* is the most common bacterial agent causing diarrhea by binding to the intestinal mucosa and producing heat-labile enterotoxins. The aim of this study was to elucidate the interaction of two forms of dextran exopolysaccharides (molecular weights of (11-9 kDa) and (76-60 kDa)) produced by the probiotic bacterium *Leuconostocmesenteroides* with the heat-labile enterotoxin((B-pentamer) (LTB)) by using surface plasmon resonance (SPR).According to the results of interaction kinetics at 298 K, both low and high molecular weight dextran types exhibited high affinity (KA) ( $1.07 \times 10^6$  M-1 and  $0.95 \times 10^6$  M-1, respectively) for LTB toxin in vitro. From a thermodynamic point of view, the values calculated of the Gibbs energy were negative ( $\Delta G < 0$ ), and also enthalpy and entropy achieved both positive values ( $\Delta H > 0$  and  $\Delta S > 0$ ) via the van't Hof equation, indicating that the interaction was spontaneous, endothermic, and disordered, respectively. With these findings, hydrophobic interactions appear to be important in the interaction between dextran and LTB toxins with hydrogenic bindings. Therefore, dextran molecules are capable of binding to LTB toxin and relatively displaying antitoxin effects.To sum up, these results could provide further insights for initiating extensive research with other lactic acid-derived exopolysaccharides in bacterial interactions and also with foodborne pathogen toxins.

**Article History:**

Received 2022/8/9

Accepted 2022/9/12

**Keywords:**

Dextran,

Heat-Labile Enterotoxin,

Surface Plasmon Resonance,

Exopolysaccharide,

Interaction

**DOI:** 10.22034/FSCT.20.136.1**DOR:** 20.1001.1.20088787.1402.20.136.1.9

\*Corresponding Author E-Mail:  
tabatabai@um.ac.ir